

**Быков А.Г., Лосев Д.В., Бардашов Д.С.**  
*Национальный исследовательский Томский государственный университет*

## Электромагнитное поле элементарного излучателя в ближней зоне

*Рассматривается задача об определении электромагнитного поля в ближней зоне излучателя в виде диполя при возбуждении его сигналом произвольной временной формы. Решение этой задачи позволяет выявить общие закономерности преобразования формы волны по мере удаления от источника. Предложенный подход, в отличие от классического, не приводит к неограниченному возрастанию амплитуды сигнала вблизи источника.*

**Ключевые слова:** элементарный излучатель, ближняя зона.

Традиционно используемые соотношения теории излучающих устройств, в основном, ориентированы на описание электромагнитного поля в дальней зоне излучателя. Однако в течение ряда лет на кафедре радиофизики Томского государственного университета исследуется возможность создания сверхширокополосных комбинированных излучателей на основе анализа и управления потоками энергии в ближней зоне излучателя [1, 2]. Кроме того, в [3] показано, что для правильного описания преобразования волны при распространении ее в нелинейной среде нельзя ограничиться приближением дальней зоны, как в линейном случае, а необходимо последовательно учитывать взаимные изменения характеристик излучения и среды на всем пути распространения от источника до точки приема. Таким образом, для дальнейшего улучшения условий передачи, приема и распространения сверхширокополосного и высокоомощного излучения необходимо, в частности, тщательное изучение физических процессов в ближней зоне излучателя. В то же время сложность проблемы адекватного описания характеристик электромагнитного поля вблизи источника определяется особенностью поля точечного источника (функции Грина) при  $R \rightarrow 0$ .

Значения напряженностей полей для диполя, расположенного в центре координат и характеризующегося постоянным распределением тока вдоль координаты  $z$  и произвольной временной формой  $\varphi(t)$ , имеет вид [4]

$$\begin{aligned}
 D_x(\vec{r}, t) &= \frac{\partial^2}{\partial x \partial z} \left[ \frac{\Phi(t - R/v)}{4\pi R} \right], \quad D_y(\vec{r}, t) = \frac{\partial^2}{\partial y \partial z} \left[ \frac{\Phi(t - R/v)}{4\pi R} \right], \\
 D_z(\vec{r}, t) &= \frac{\partial^2}{\partial z^2} \left[ \frac{\Phi(t - R/v)}{4\pi R} \right] - \mu_a \varepsilon_a \frac{\partial}{\partial t} \left[ \frac{\varphi(t - R/v)}{4\pi R} \right], \\
 H_x(\vec{r}, t) &= \frac{\partial}{\partial y} \left[ \frac{\varphi(t - R/v)}{4\pi R} \right], \quad H_y(\vec{r}, t) = -\frac{\partial}{\partial x} \left[ \frac{\varphi(t - R/v)}{4\pi R} \right], \quad H_z(\vec{r}, t) = 0,
 \end{aligned}
 \tag{1}$$

где  $\vec{D}, \vec{H}$  – векторы электрической индукции и напряженности магнитного поля,  $\epsilon_a, \mu_a$  – электрофизические характеристики среды,  $v = 1/\sqrt{\epsilon_a \mu_a}$  – скорость распространения волны в среде,  $R = |\vec{r}| = \sqrt{x^2 + y^2 + z^2}$  – расстояние от центра диполя до точки наблюдения,  $\Phi(t) = \int_0^t \varphi(\tau) d\tau$ . Соответствующая плотность энергии в традиционно используемой сферической системе координат принимает вид

$$\frac{1}{2\epsilon_a} (D_x^2 + D_y^2 + D_z^2) + \frac{\mu_a}{2} (H_x^2 + H_y^2 + H_z^2) = \frac{1}{2\epsilon_a (4\pi R)^2} \left\{ \sin^2 \theta \left[ \left( \frac{\varphi'}{v^2} + \frac{\varphi}{vR} + \frac{\Phi}{R^2} \right)^2 + \left( \frac{\varphi'}{v^2} + \frac{\varphi}{vR} \right)^2 + 4 \cos^2 \theta \left( \frac{\varphi}{vR} + \frac{\Phi}{R^2} \right)^2 \right] \right\},$$

где у функции  $\varphi$ , ее производной и первообразной опущен аргумент  $t - R/v$ . Анализ этой формулы показывает, что в ближней зоне доминирует поле, направленное вдоль оси диполя и изменяющееся со временем как первообразная исходного распределения тока. В дальней зоне излучателя, наоборот, распространяется волна, пропорциональная производной исходного сигнала и имеющая максимум в направлении, перпендикулярном оси диполя. Однако, в непосредственной близости от излучателя значения полей неограниченно возрастают, эти формулы становятся неверными, и поэтому необходим более тонкий анализ величин этих полей. Это связано с тем, что в ближней зоне излучателя необходимо учитывать его размеры и форму.

Для решения этой задачи рассмотрим вместо диполя излучатель в виде малого цилиндра длиной  $h$  и радиусом поперечного сечения  $a$ , находящегося в центре координат. Тогда в формулах (1) под знак производных вместо множителя  $1/R$  необходимо подставить величину

$$I = \int_0^a \rho' d\rho' \int_{-h/2}^{h/2} dz' \int_0^{2\pi} \frac{d\varphi'}{\sqrt{\rho'^2 + \rho^2 - 2\rho'\rho \cos(\varphi' - \varphi) + (z' - z)^2}},$$

где  $(\rho, \varphi, z)$  – координаты точки приема в цилиндрической системе координат.

Внутренний интеграл можно вычислить точно [5]:

$$I = 2 \int_0^a \sqrt{\frac{\rho'}{\rho}} d\rho' \int_{-h/2}^{h/2} dz' Q_{-1/2} \left( 1 + \frac{(\rho' - \rho)^2 + (z' - z)^2}{2\rho'\rho} \right), \quad (2)$$

где  $Q_{-1/2}(x)$  – функция Лежандра второго рода. В случае, когда ее аргумент удовлетворяет условию  $|x| > 1$ , ее можно вычислить с помощью гипергеометрического ряда [6]

$$Q_{-1/2}(x) = \frac{\pi}{\sqrt{2x}} F\left(\frac{3}{4}, \frac{1}{4}, 1, \frac{1}{x^2}\right) = \frac{\pi}{\sqrt{2x}} \left(1 + \frac{3}{16z^2} + \frac{105}{256z^4} + \dots\right).$$

Подстановка в (2) при учете только первого члена дает

$$I = \int_0^a \rho' d\rho' \int_{-h/2}^{h/2} \frac{2\pi dz'}{\sqrt{\rho'^2 + \rho^2 + (z' - z)^2}} \approx \pi a^2 \ln \left| \frac{\sqrt{a^2 + \rho^2 + \left(\frac{h}{2} - z\right)^2} + \frac{h}{2} - z}{\sqrt{a^2 + \rho^2 + \left(\frac{h}{2} + z\right)^2} - \frac{h}{2} - z} \right|. \quad (3)$$

В дальней зоне, когда малыми величинами  $h, a$  можно пренебречь, разложение логарифма по формуле Тейлора

$$\ln \left| \frac{\sqrt{a^2 + \rho^2 + \left(\frac{h}{2} - z\right)^2} + \frac{h}{2} - z}{\sqrt{a^2 + \rho^2 + \left(\frac{h}{2} + z\right)^2} - \frac{h}{2} - z} \right| \approx \frac{h}{\sqrt{\rho^2 + z^2}}$$

дает привычное убывание  $\sim 1/R$ . С другой стороны, при  $z = \rho = 0$ , выражение для  $I$  с точностью до размерного коэффициента совпадает с индуктивностью тонкого провода [7], что дает возможность в ближней зоне диполя воспользоваться методом эквивалентных схем [8].

Подчеркнем, что выражение (3), в отличие от классических формул (1), является ограниченным во всем пространстве, включая точки  $z = \pm \frac{h}{2}, \rho = 0$ , где размещены «точечные заряды» диполя. Этот случай иллюстрирует рис. 1, построенный при значениях  $h = 0.01 \text{ м}, a = 0.001 \text{ м}$ .

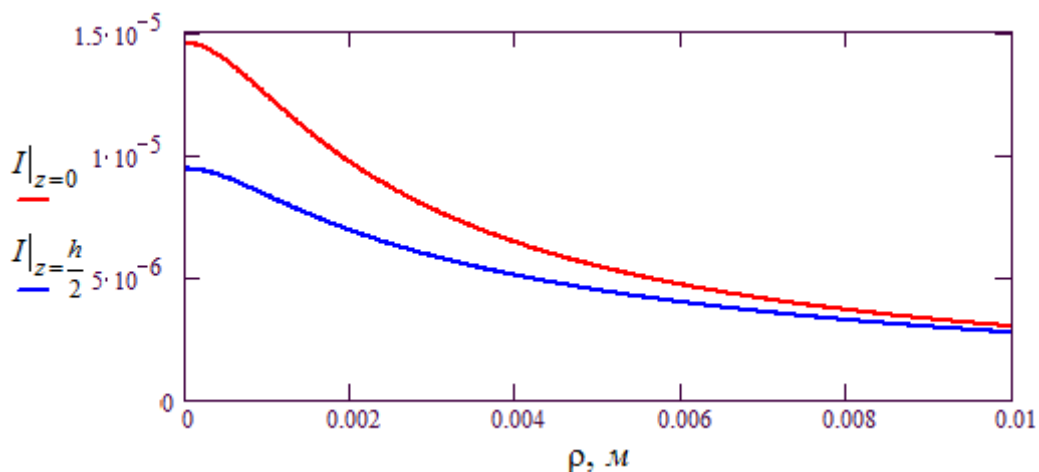


Рис. 1. Зависимость  $I|_{z=0}, I|_{z=\frac{h}{2}}$  от  $\rho$ .

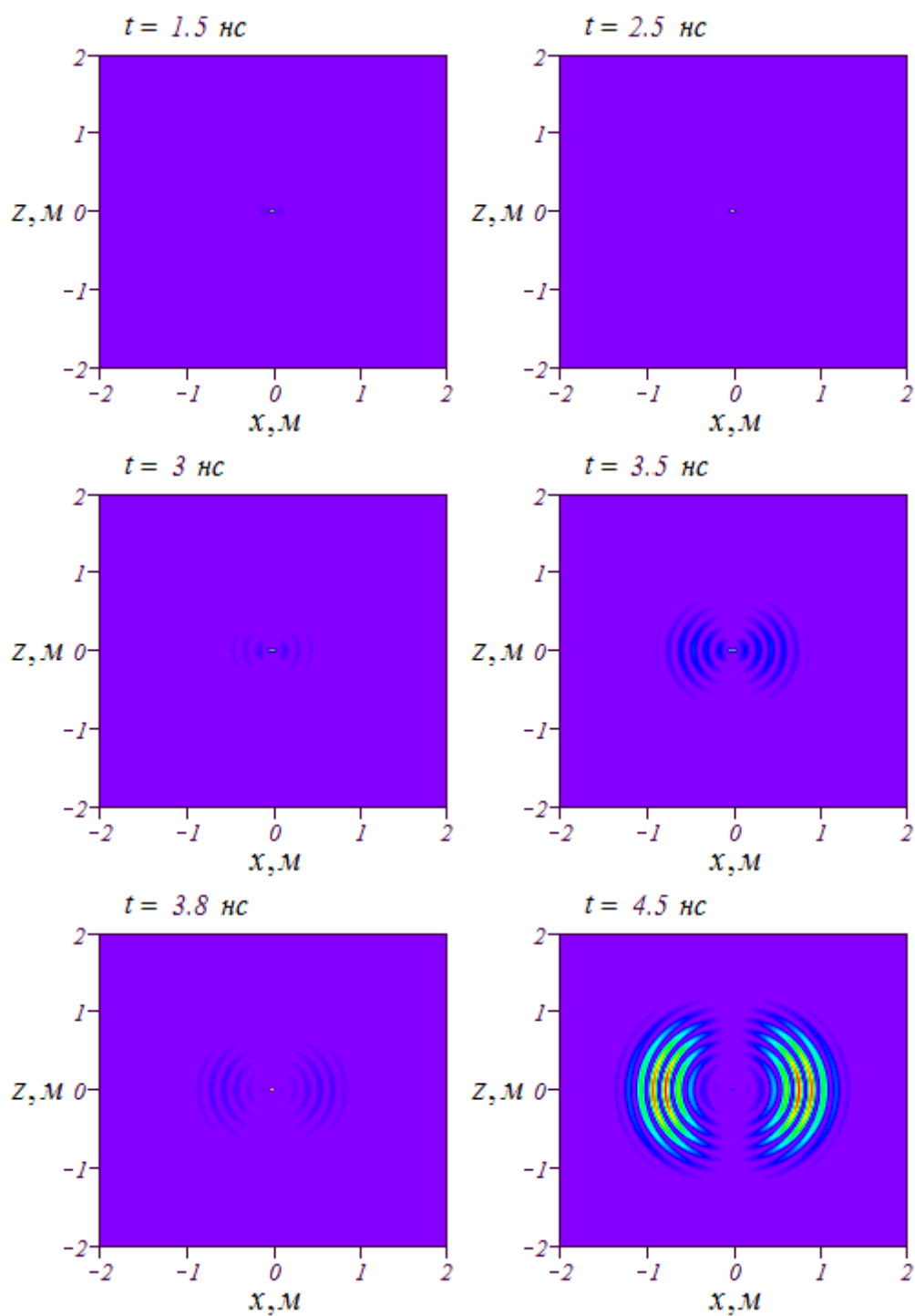


Рис. 2. Плотность энергии диполя, возбужденного гауссовским импульсом, в зависимости от координат в различные моменты времени.

Таким образом, в ближней зоне уточненные выражения для полей вычисляются по формулам (1), где вместо множителя  $1/R$  необходимо подставить выражение (3). Приведем также выражение для плотности энергии, соответствующей формуле (3),

$$\frac{1}{2\varepsilon_a} (D_x^2 + D_y^2 + D_z^2) + \frac{\mu_a}{2} (H_x^2 + H_y^2 + H_z^2) =$$

$$= \frac{I^2 \sin^2 \theta}{2\varepsilon_a (4\pi)^2} \left\{ \left[ \left( \frac{\varphi'}{v^2} \right)^2 + \left( \frac{\varphi'}{v^2} + \frac{\varphi}{vR} \right)^2 \right] \right\},$$

где в качестве расстояния следует использовать величину  $R = \sqrt{a^2 + \rho^2 + z^2}$ .

Отметим, что в отличие от классического случая, в ближней зоне отсутствуют составляющие электрического и магнитного полей, убывающие быстрее, чем  $1/R$ , и сложная угловая зависимость. В то же время при  $R \rightarrow \infty$  (дальняя зона) формула совпадает с классическим случаем, что является косвенным аргументом правильности предлагаемой зависимости.

Для наглядности плотность энергии в различные моменты времени изображена на рис. 2, в виде инверсных градаций яркости. При этом в качестве источника возбуждения был выбран гауссовский импульс

$$\varphi(t) = Ae^{-\beta(t-t_0)^2} \sin \omega(t-t_0),$$

где  $A = 50$ ,  $\beta = 0.6$  ГГц,  $\omega = 2\pi f$ ,  $f = 1$  ГГц,  $t_0 = 10$  нс. Такая форма сигнала широко используется при моделировании сверхширокополосных импульсов [9]. Сначала наблюдается эффект обмена энергией между излучателем и близлежащим пространством, после чего происходит формирование сферической волны.

#### Библиографический список

1. Беличенко В.П., Буянов Ю.И., Кошелев В.И., Плиско В.В. О возможности расширения полосы пропускания малогабаритных излучателей // Радиотехника и электроника, 1999, Т. 44, № 2. – С. 178-184.
2. Буянов Ю.И. Электродинамика ближней зоны короткого диполя // Доклады Томского государственного университета систем управления и радиоэлектроники, 2014, № 4. – С. 31-33.
3. Лосев Д.В., Бардашов Д.С., Быков А.Г. Метод вариации параметров в задаче распространения волн в нелинейных средах // Журнал радиоэлектроники (электронный журнал), 2017, № 2.
4. Якубов В.П. Электродинамика. – Томск: Изд-во НТЛ, 2006. – 148 с.
5. Прудников А.П., Брычков Ю.А., Марычев О.И. Интегралы и ряды. Элементарные функции. – М.: Наука. Гл. ред. физ.-мат. лит., 1981. – 800 с.
6. Абрамовиц М., Стиган И. Справочник по специальным функциям. – М.: Наука, 1979. – 832 с.
7. Калантаров П.Л., Цейтлин Л.А. Расчет индуктивностей: справочная книга. - Л.: Энергоатомиздат, 1986. – 488 с.
8. Быков А.Г., Лосев Д.В., Бардашов Д.С. Рассеяние волн нелинейным объектом // Известия высших учебных заведений. Физика, 2015, Т. 58, № 10-3. – С. 9-11.
9. Беличенко В.П., Буянов Ю.И., Кошелев В.И. Сверхширокополосные импульсные радиосистемы. – Новосибирск: Наука, 2015. – 481 с.